

تمایز عصبی سلولهای بنیادی ژله وار تون در محیط کشت سه بعدی پایه کیتوزان

الهه منصوری (MSc)^۱، شبنم کرمانی (PhD)^۱، اکرم علیزاده (PhD)^{۲*}

۱- گروه مهندسی مواد، واحد نجف آباد، دانشگاه آزاد اسلامی، نجف آباد، ایران

۲- گروه مهندسی بافت و علوم سلولی کاربردی، دانشکده پزشکی، دانشگاه علوم پزشکی سمنان، سمنان، ایران

دریافت: ۹۷/۱۰/۱۱، اصلاح: ۹۸/۱/۲۷، پذیرش: ۹۸/۲/۲۲

خلاصه

سابقه و هدف: سلولهای بنیادی ژله وار تون می‌توانند گزینه مناسبی برای تمایز و ترمیم آسیب‌های بافت عصبی باشند. کشت سه بعدی با فراهم آوردن محیطی شبیه بدن نسبت به کشت دو بعدی مزیت دارد. هدف از این مطالعه تمایز عصبی این سلولها در محیط کشت سه بعدی پایه کیتوزان است.

مواد و روش‌ها: این مطالعه تجربی در ۴ گروه (کشت دو بعدی در حضور محیط تمایز عصبی و عدم حضور آن و کشت سه بعدی در حضور محیط تمایز عصبی و عدم حضور آن) بر روی سلولهای بنیادی ژله وار تون انسانی انجام شد. برای ساخت هیدروژل، هیدروکسی اتیل سلولوز با نسبت ۴/۸:۰/۸ (HEC: CH-β-GF) به محلول کیتوزان-بتاگلیکسروفسفات اضافه شد. سلولهای بنیادی ژله وار تون پس از استخراج به روش آنژیومی از ژله وار تون نوزادان بیمارستان امام خمینی تهران و تایید به روش فلوسیتومتری به تعداد 5×10^5 سلول در هر چاهک پلیت ۲۴ خانه تحت تاثیر محیط کشت تمایزی در شرایط دو بعدی و سه بعدی به مدت ۴ روز کشت داده شدند. سپس بررسی کمی بیان ژنهای Nestin و β-Tubulin III به عنوان دو مارکر و معیار سنجش تمایز عصبی و ژن β-actin (به عنوان کنترل داخلی و ژن معیار یا رفرنس) توسط Real time PCR انجام شد.

یافته‌ها: نتایج Real time PCR نشان داد، بیان ژنهای Nestin و β-Tubulin III در سلولهای بنیادی ژله وار تون در حضور محیط تمایز عصبی در هر دو شرایط کشت سه بعدی (بیش از ۲ برابر) و دو بعدی (بیش از ۴ برابر) نسبت به عدم حضور آن افزایش معنی‌دار دارد ($p < 0/005$). اما بیان این ژنها تحت تاثیر محیط تمایز عصبی در شرایط کشت سه بعدی نسبت به شرایط کشت دو بعدی به طور معنی‌داری (بیش از ۱/۵ برابر) بیشتر بود ($p < 0/01$).

نتیجه‌گیری: نتایج بدست آمده نشان داد تمایز عصبی در سلولهای بنیادی ژله وار تون در محیط کشت سه بعدی پایه کیتوزان بیشتر است.

واژه های کلیدی: ژله وار تون، سلول بنیادی، تمایز عصبی، کیتوزان.

مقدمه

بررسی سلولهای عصبی و یا تمایز عصبی نتایج متفاوتی نسبت به کشت دو بعدی داشته است. در چند مطالعه استفاده از کشت سه بعدی در مدل‌سازی ابتلای سیستم عصبی به عفونت ویروسی و یا غربالگری تمایز سلولی موثرتر گزارش شده است (۸و۹). هیدروژلهای پایه کیتوزان از داربست‌های مورد استفاده در مهندسی بافت هستند که می‌توانند شرایط ماتریکس خارج سلولی طبیعی را تقلید و محیط سه بعدی برای رشد سلول فراهم کنند (۱۰). استفاده از سلولهای بنیادی ژله وار تون به همراه هیدروژلی که بتواند محیط سه بعدی مورد نیاز رشد آنها را فراهم کند، می‌تواند راهکاری مناسب برای درمان آسیب به بافت عصبی باشد (۱۱و۱۲). کیتوزان (Chitosan: CH) یک پلی ساکارید طبیعی است که از کیتین به دست می‌آید. کیتوزان زیست سازگار و زیست تخریب پذیر، دارای خاصیت ضد رادیکال آزاد و حفاظت‌کنندگی عصبی می‌باشد. همچنین باعث تسهیل چسبندگی و رشد سلول عصبی می‌شود و دارای نرخ تخریب قابل تنظیم (۱۳) و خاصیت آنتی باکتریالی (۱۴) است. بنابراین می‌تواند داربست مناسبی جهت کشت سه بعدی و تمایز عصبی سلولهای بنیادی باشد. برای ساخت هیدروژل وابسته به دمای CH می‌توان از اتصال آن

استفاده از درمانهای مبتنی بر سلول و سلولهای بنیادی در زمینه درمان بیماریها و آسیبهای دستگاه عصبی بسیار امید بخش بوده است (۱و۲). از منابع مهم سلولهای بنیادی میتوان به سلولهای بنیادی ژله وار تون اشاره کرد. ویژگی‌هایی از جمله در دسترس بودن، قابلیت تکثیر فراوان بدون خطر ایجاد تومور، پتانسیل تمایزی بالای آنها برای تبدیل به انواع بافتها، امکان پیوند اتولوگ برای خود فرد و یا آلوژنیک برای فرد دیگر دلیل مطالعه وسیع این سلولها در مهندسی بافت و پزشکی ترمیمی بوده است (۳). علاوه بر این، سلولهای بنیادی استخراج شده از ژله وار تون نسبت به مغز استخوان و بافت چربی پتانسیل تمایزی بالاتری برای تبدیل به پیش سازهای عصبی دارند (۴) و با ترشح عوامل نوروتروفیک و سیتوکاینها باعث بقا، حمایت و ترمیم سلولهای عصبی می‌شوند (۵). در مطالعه‌ای پیوند این سلولها پس از تمایز به سلولهای عصبی در مدل ایسکمی مغزی باعث بهبودی چشمگیری شد (۶). یکی از مهمترین نکات در استفاده از این سلولها کشت و تمایز آنها در آزمایشگاه است. در این راستا استفاده از کشت سه بعدی با تقلید از محیط سه بعدی و طبیعی بدن مزایای فراوانی دارد (۷). استفاده از کشت سه بعدی در مطالعات مختلف مربوط به

این مقاله حاصل پایان نامه الهه منصوری دانشجوی رشته مهندسی بافت دانشگاه آزاد اسلامی واحد نجف آباد می باشد.

* مسئول مقاله: دکتر اکرم علیزاده

آدرس: سمنان، دانشگاه علوم پزشکی، دانشکده پزشکی، گروه مهندسی بافت و علوم سلولی کاربردی. تلفن: ۰۲۲-۳۳۴۴۱۰۲۳-۲۳

۲۴ ساعت بعد پس از اولین شستشو با بافر فسفات سالین باقی مانده های ژله وارتون حذف شدند.

تایید هویت سلولهای بنیادی ژله وارتون: سلولهای پاساژ سه به منظور تایید هویت سلولهای بنیادی ژله وارتون استخراج شده توسط دستگاه فلوسایتومتری (BD FACSCalibur Bioscience, USA) از نظر بیان مارکرهاي CD105، CD90، CD45، CD73 و CD34 توسط آنتی بادیهای اختصاصی بررسی و نتایج با نرم افزار FlowJo نسخه ۷ و ۷و۱ آنالیز شد.

تهیه هیدروژل: به منظور ساخت هیدروژل ابتدا ۲۲۵ میلی گرم پودر CH را وزن کرده و بعد از استریل کردن در ۹ml اسید کلریدریک ۰/۱ مولار به مدت چند ساعت روی شیکر با RPM ۱۴۰ قرار داده شد تا کاملا حل شود. در گام بعد ۲/۲۵ گرم از β -GF و وزن کرده در ۳/۵ سی سی آب دیونیزه حل و با فیلتر استریل گردید. محلول استریل CH و β -GF هر دو به طور جداگانه به مدت ۱۵ دقیقه روی یخ نگهداری شدند و سپس β -GF به صورت قطره قطره و به آرامی و در حالیکه محلول CH توسط مگنت با دور ثابت به هم زده می شد بر روی محلول CH اضافه شد. پس از اضافه کردن β -GF، حجم نهایی محلول CH و β -GF به ۱۵ml رسید. مقدار ۱۲۵ میلی گرم HEC (اتوکلاو شده) در ۱۰ سی سی PBS حل شد. HEC سرد با نسبت ۴/۸: ۰/۸ (HEC: CH- β -GF) به محلول CH- β -GF اضافه شد. اضافه کردن سلول همزمان با اضافه کردن HEC انجام شد.

ارزیابی موفقولژی و فرایند ژل شدن هیدروژل: به منظور تعیین زمان ژل شدن محلول HEC دردمای پایین به β -GF-CH اضافه شد و هیدروژل حاصل شده به فور (دمای ثابت ۳۷ °C) انتقال داده شد و مدت زمان ژل شدن بررسی شد. به منظور بررسی مورفولوژی هیدروژل توسط freeze drier خشک شد و با استفاده از (Sputter coater (Technics, Hummer II, Japan) پوشش طلا گرفته و با میکروسکوپ الکترونی HITACH-S 4160 تصویر گرفته شد.

ارزیابی تمایز عصبی سلولهای بنیادی ژله وارتون: به منظور بررسی تمایز عصبی سلولهای بنیادی ژله وارتون در محیط دوبعدی، این سلولها به مدت ۴ روز در محیط تمایز عصبی کشت شدند. اما در گروه کشت سه بعدی این سلولها پس از قرارگیری در هیدروژل در محیط کشت تمایز عصبی قرار گرفتند. محیط تمایز شامل DMEM/F12، سرم ۱۰٪ KSR، فاکتور رشد EGFng/ml ۲۰، فاکتور رشد bFGFng/ml ۲۰ و ۱۰mg/ml هیارین بود. پس از ۴ روز سلولهای دو گروه مذکور و دو گروه کنترل فاقد محیط تمایزی از نظر مورفولوژی با میکروسکوپ فاز کنتراست اینورت مورد ارزیابی قرار گرفتند. همچنین Real Time-PCR با استفاده از پرایمر ژنهای Nestin، β -Tubulin III و β -actin (به عنوان کنترل داخلی) انجام شد (جدول ۱).

با بتاگلیسروفسفات (β -GP) و مشتقات سلولز نظیر هیدروکسی اتیل سلولز (HEC) استفاده کرد (۱۵). β -GP باعث می شود اسیدیته CH به محدوده فیزیولوژیکی نزدیک شود و از ژل شدن سریع آن جلوگیری می کند (۱۶). استفاده از HEC باعث بهتر شدن خواص مکانیکی و شروع بهتر فرایند ژل شدن هیدروژل می شود (۱۷ و ۱۸). برای بررسی تمایز عصبی سلولهای بنیادی از مارکرهاي مختلفی استفاده میشود. پروتئین β -Tubulin III که به طور ویژه در نورونها وجود دارد و در ابتدای تمایز عصبی قابل بررسی است، یکی از این مارکرهاست. دیگر مارکر بیان کننده شروع تمایز عصبی Nestin است (۱۹). با توجه به مطالب بیان شده و اهمیت بررسی تمایز این سلولها در محیطهای کشت سه بعدی و از آنجائیکه تاکنون مطالعه ای در این باره انجام و گزارش نشده، این مطالعه با هدف بررسی و مقایسه تمایز عصبی سلولهای بنیادی ژله وارتون در هیدروژل CH- β -GP-HEC به عنوان یک محیط کشت سه بعدی نسبت به کشت دو بعدی است انجام شد.

مواد و روشها

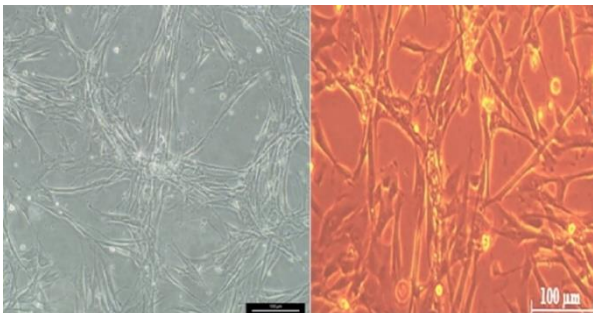
نوع مطالعه و گروهها: این مطالعه تجربی در ۴ گروه کشت دوبعدی سلولهای بنیادی ژله وارتون در حضور محیط تمایز عصبی و عدم حضور آن (محیط کشت فاقد مواد تمایز دهنده) و کشت سه بعدی سلولهای بنیادی ژله وارتون در حضور محیط تمایز عصبی و عدم حضور آن (محیط کشت فاقد مواد تمایز دهنده) انجام شد. به منظور بررسی و مقایسه تمایز عصبی، دو متغیر بیان ژنهای β -Tubulin III و Nestin به عنوان دو مارکر و معیار سنجش تمایز عصبی و ژن β -actin (به عنوان کنترل داخلی و ژن معیار یا رفرنس) توسط Real time PCR بررسی شد. سلولهای بنیادی ژله وارتون از بندناف نوزادان متولد شده در بیمارستان امام خمینی پس از اخذ رضایت نامه و با تایید کمیته اخلاق دانشگاه علوم پزشکی تهران (کد: TUMS.rec.۲۴۰۶) جداسازی شد.

جداسازی سلولهای بنیادی ژله وارتون: نمونه های بند ناف تحت شرایط استریل در ظرف حاوی نرمال سالین گذاشته شده و به آزمایشگاه منتقل شد. برای از بین بردن آلودگیها، بندناف بالکل ۷۰ درصد به مدت ۳۰ ثانیه شستشوداده شد. سپس با PBS حاوی پنی سیلین، استرپتومایسین، آمفی تریسین و نیز جنتامایسین شسته شد. ژله وارتون به کمک تیغ بیستوری استریل از بندناف جداسازی و به قطعات کمتر از ۵ میلی متر مربع تقسیم شد. قطعات به محیط کشت کامل (حاوی گلوکز بالا، ۲۰ درصد FBS و ۱ درصد آنتی بیوتیک پنی سیلین/استرپتومایسین) منتقل شدند و در انکوباتور با ۹۵٪ رطوبت و ۵ درصد CO₂ و دمای ۳۷ °C قرار داده شدند. سلولها به روش کشت قطعه ای از ژله وارتون جدا شده و به کف فلاسک چسبیدند.

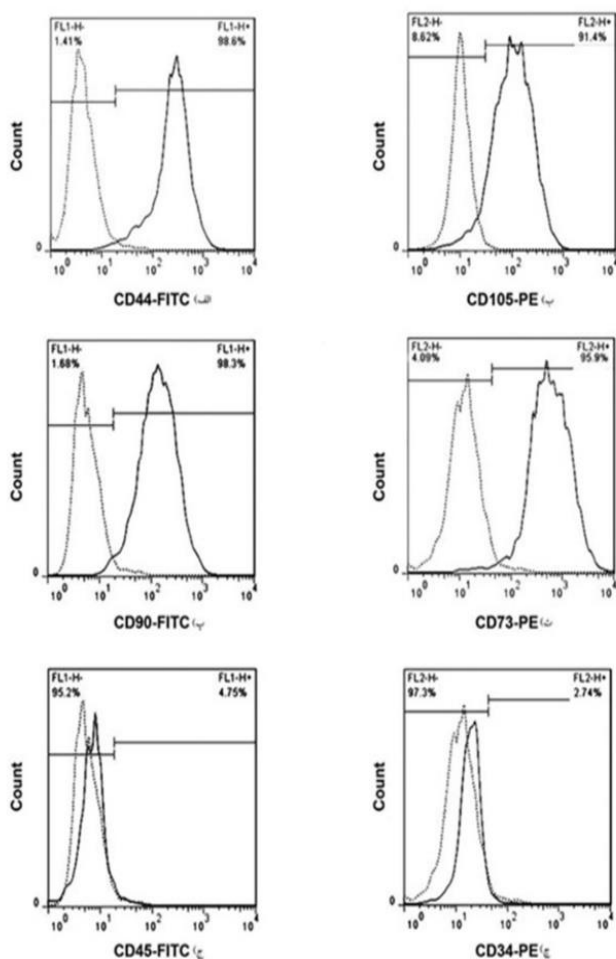
جدول ۱. توالی پرایمرهای رفت و برگشت ژن

نام ژن	توالی رفت و برگشت
β -actin	Forward primer (5'-3'): acatcaaggagaagctgtgctac
	Reverse primer (3'-5'): ctctcatgatggagtgaggtagtt
Nestin	Forward primer (5'-3'): ggcttctctcagcatcttgg
	Reverse primer (3'-5'): aaggctggcataggtgtgtc
β -tubulinIII	Forward primer (5'-3'): cagagcaagaacagcagctactt
	Reverse primer (3'-5'): gtgaactccatctctgcccacccctc

شرایط سه بعدی فراهم شده توسط هیدروژل پایه کیتوزان و حضور محیط تمایز عصبی نسبت به شرایط دو بعدی مشابه افزایش (بیش از ۱/۵ برابر) نشان داد ($p < 0.01$).



شکل ۱. مورفولوژی شبه فیبروبلاستی سلول های بنیادی ژله‌وارتون در محیط کشت DMEM/F12 در سمت راست و سلولهای بنیادی ژله‌وارتون القا شده به سلولهای عصبی در محیط کشت تمایزی بعد از ۴ روز در سمت چپ



نمودار ۱. آنالیز فلوسایتومتری سلول های بنیادی ژله‌وارتون مارکر مثبت شامل: الف) CD44 (۹۸/۶٪) ب) CD105 (۹۱/۴٪) پ) CD90 (۹۷/۳٪) ث) CD73 (۹۵/۹٪) و مارکرهای منفی شامل: ج) CD45 (۴/۷۵٪) چ) CD34 (۲/۷۴٪)

استخراج RNA سلولها طبق دستورالعمل کیت کپاژن انجام و غلظت RNA هر نمونه با نانودراپ سنجیده شد. برای سنتز cDNA از کیت کپاژن طبق پروتکل شرکت سازنده استفاده شد. به منظور انجام Real-Time PCR برای هر ژن یک کنترل منفی در نظر گرفته شد. برای هر نمونه ۳ تکرار تهیه شد. ترکیب هر نمونه شامل: ۱۰ میکرولیتر Syber green، ۱ میکرولیتر Rox، ۰/۷ میکرولیتر F primer، ۰/۷ میکرولیتر R Primer، ۱ میکرولیتر cDNA، ۶/۴ میکرولیتر Water RNase free و حجم هر واکنش ۲۰ میکرولیتر بود. در کنترل منفی تمامی ترکیب بالا به جز cDNA وجود داشت. واکنش در دستگاه ABI Step one طبق پروتکل شرکت سازنده انجام گرفت. ۴۰ سیکل برای هر چرخه Real Time PCR در نظر گرفته شد. پس از هر Run از PCR صحت هر منحنی تکثیر توسط منحنی Melting و با استفاده از دمای اختصاصی of product که برای هر ژن اختصاصی است تایید شد. میزان بیان ژن هدف (Nestin و β -Tubulin III) نسبت به ژن رفرنس (β -actin) با استفاده از فرمول $\Delta\Delta CT$ محاسبه شد.

آزمونهای آماری: تجزیه و تحلیل کلیه داده ها با نرم افزار SPSS نسخه ۲۳، تحلیل واریانس یک طرفه و رسم نمودار با نرم افزار Excel 2016 انجام شد. برای تحلیل نتایج حاصل از Real-Time PCR، داده‌های خام توسط نرم افزار REST 2009 به داده‌های قابل تفسیر تبدیل شد. میزان بیان ژن هدف (Nestin و β -Tubulin III) نسبت به ژن رفرنس (β -actin) با استفاده از فرمول $\Delta\Delta CT$ محاسبه شد. سپس با استفاده از تحلیل واریانس یک طرفه، مقایسه و $p < 0.05$ معنی دار در نظر گرفته شد.

یافته ها

تایید هویت سلولهای بنیادی ژله‌وارتون: این سلولها ابتدا ظاهر گرد داشتند پس از ۲۴ ساعت به کف فلاسک چسبیده و ظاهر شبیه فیبروبلاست پیدا کردند (شکل ۱). آنالیز فلوسایتومتری نشان داد (نمودار ۱) از بین مارکرهای مثبت سلولهای بنیادی CD44 با ۹۸/۶٪، بیشترین بیان را داشته است و بقیه مارکرهای مثبت CD105، CD90، CD73 به ترتیب ۹۱/۴٪، ۹۸/۳٪ و ۹۵/۹٪ بیان داشته اند. همچنین مارکرهای منفی CD45 و CD34 به ترتیب ۴/۷۵٪ و ۲/۷۴٪ بیان داشته اند.

مورفولوژی متخلخل هیدروژل: ساختار هیدروژل پس از حذف آب آن، با میکروسکوپ SEM بررسی شد (شکل ۲). نتایج نشان داد ساختار این هیدروژل کاملاً متخلخل و منافذ با یکدیگر مرتبط هستند.

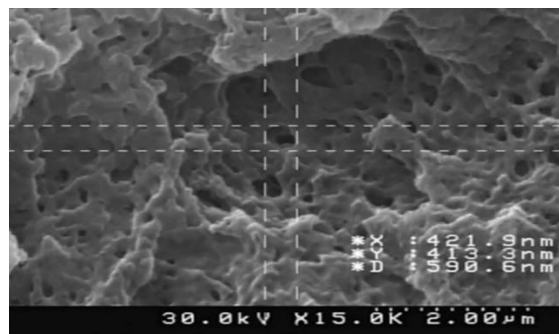
زمان ژل شدن هیدروژل: نتایج تعیین زمان ژل شدن نشان داد بعد از انتقال هیدروژل به فور 37°C بلافاصله ژل شدن آغاز و بعد از حدود ۲۵ دقیقه کامل می شود.

بررسی بیان ژنهای مربوط به تمایز عصبی در کشت دو بعدی و سه بعدی: نتایج بیان کمی ژنهای Nestin و β -Tubulin III (نمودار ۲) نشان داد بیان این ژنها در حضور محیط تمایز عصبی چه در شرایط کشت سه بعدی و چه در شرایط کشت دو بعدی افزایش می یابد. بیان این ژنها در شرایط کشت سه بعدی و حضور محیط تمایز عصبی نسبت به گروه کنترل سه بعدی فاقد محیط تمایزی (بیش از ۲ برابر) افزایش دارد ($p < 0.05$). همچنین بیان این ژنها در شرایط کشت دو بعدی و حضور محیط تمایز عصبی نسبت به گروه کنترل فاقد محیط تمایزی (بیش از ۴ برابر) افزایش داشت ($p < 0.05$). در مقایسه بین گروههای اصلی بیان این ژنها در

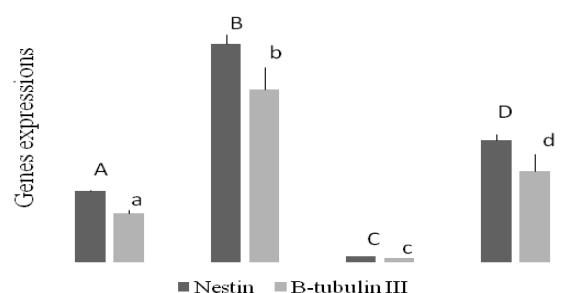
است اختلال در روند قرارگیری سلولها وارد کرده و باعث اعمال شوک به آنها شود. به نظر زمان بدست آمده برای هیدروژل CH-β-GP-HEC زمان بسیار مناسبی باشد. طبق نتایج بدست آمده از آزمون MTT بین گروه کنترل و سلولهایی که در تماس با هیدروژل بوده اند تفاوت معناداری از نظر بقا مشاهده نشد. از علل عدم سمیت هیدروژل میتوان به غلظت مناسب β-GP مورد استفاده اشاره کرد. برهمکنش قوی بین مولکولهای آب و CH مانع از توده‌ای یا ژل شدن آن میشود. با افزودن گلیسروفسفات دافعه الکترواستاتیکی زنجیره‌های CH توسط گروه فسفات نمک گلیسروفسفات خنثی میشود. در مقادیر بسیار کم نمک گلیسروفسفات با کاهش دما ژل ایجاد شده به حالت محلول برمیگردد؛ زیرا مقادیر بسیار کم نمک نمیتواند بدافعه الکترواستاتیک مابین زنجیره‌های کیتوزان غلبه کند (۲۳). یکی از راهکارهای مرسوم برای غلبه بر این مشکل افزایش مقدار نمک گلیسروفسفات می‌باشد (۲۴ و ۲۵). مشکل اساسی این روش افزایش سمیت در غلظت‌های بالای گلیسروفسفات میباشد. به منظور کاهش گلیسروفسفات مصرفی و افزایش زیست سازگاری این هیدروژل میتوان از عوامل شبکه کننده مانند HEC استفاده کرد (۲۶ و ۲۷). ترکیب مناسب هیدروژل CH-β-GP-HEC باعث شده است که این هیدروژل بتواند محیط مناسبی جهت تمایز انواع سلولها به رده‌های مختلف باشد. در مطالعه‌ای پتانسل تمایز کندورژنیک این هیدروژل برای سلولهای بنیادی مشتق از چربی مورد ارزیابی قرار گرفت و نتایج نشان داد ساختار متخلخل این هیدروژل می‌تواند محیط مناسبی برای رشد و تمایز سلولهای بنیادی مزانشیمی بافت چربی به غضروف فراهم کند (۲۱). نتایج Real time PCR نشان داده که محیط سه بعدی هیدروژل بدون محیط کشت تمایز عصبی باعث افزایش بیان ژن Nestin و β-Tubulin III در سلول‌های بنیادی ژله‌وار تون شده است. بیان این مارکرهای عصبی در مدت زمان ۴ روز که در نهایت باعث سنتز پروتئینهای عصبی میشوند، نشان دهنده آغاز تمایز سلولهای بنیادی ژله‌وار تون به سلولهای عصبی میباشد (۱۹). سلولهای بنیادی ژله‌وار تون در حضور هیدروژل و محیط تمایز عصبی، نسبت به بقیه گروه‌ها بیشترین بیان Nestin, β-Tubulin III را داشتند. این افزایش به علت هم افزایی تاثیر حضور هیدروژل CH-β-GP-HEC به عنوان محیط کشت سه بعدی و محیط تمایز عصبی بوده است که خود علتی بر مفید بودن این هیدروژل در تمایز عصبی سلولهای بنیادی ژله‌وار تون می‌باشد. علاوه بر بهره گیری از مزایای کشت سه بعدی در فراهم کردن شرایط طبیعی و نزدیک به بدن با توجه به هزینه بالای تهیه محیط کشت تمایز عصبی، هیدروژلی که بتواند در القا تمایز عصبی کمک کند از نظر اقتصادی مقرون به صرفه می‌باشد. از این مطالعه نتیجه گیری می‌شود کشت سه بعدی در هیدروژل CH-β-GP-HEC به تمایز عصبی سلولهای بنیادی ژله‌وار تون کمک میکند و میتواند به عنوان یک محیط کشت سه بعدی مناسب در آزمایشگاه جهت تکثیر و تمایز سلولهای مذکور و یا به عنوان یک حامل جهت تزریق و پیوند این سلولها به بخشهای مختلف سیستم عصبی استفاده گردد.

تقدیر و تشکر

بدینوسیله از همکاری مرکز تحقیقات سلولی و مولکولی دانشگاه علوم پزشکی ایران و همچنین خانم دکتر منصوره سلیمانی و دکتر سید محمد امین حرمشاهی که در انجام این پژوهش همکاری کردند، تشکر و قدردانی می‌گردد.



شکل ۲. مورفولوژی متخلخل هیدروژل CH-β-GP-HEC پس از حذف آب توسط میکروسکوپ الکترونی



نمودار ۲. نتایج بیان ژن Nestin و β-Tubulin III در گروه‌های مورد مطالعه بعد از ۴ روز. Three D without: کشت سه بعدی سلولها (در هیدروژل)، Three D with: کشت سه بعدی سلولها در حضور محیط تمایز عصبی، Two D without: کشت دو بعدی سلولها، Two D with: کشت دو بعدی سلولها در حضور محیط تمایز عصبی

بحث و نتیجه گیری

نتایج حاصل از این مطالعه نشان داد بیان مارکرهای تمایز عصبی (β-Tubulin III و Nestin) در شرایط کشت سه بعدی با استفاده از هیدروژل پایه کیتوزان CH-β-GP-HEC نسبت به محیط کشت دو بعدی افزایش می‌یابد. در این مطالعه سلولهای بنیادی ژله‌وار تون به روش کشت قطعات کوچک جداسازی شدند که یک روش مرسوم جداسازی این سلولها است (۲۰). سلولهای جدا شده به این روش مانند سایر سلولهای مزانشیمی، بعد از چسبیدن به کف ظرف کشت ظاهری مشابه فیبروبلاست پیدا کردند. بررسی فلوسایتومتری در راستای سایر مطالعات انجام شده در تعیین هویت این سلولها نشان داد مارکرهای سطحی سلولهای هماتوپویتیک CD45 و CD34 توسط سلولها بیان نمی‌شود. در حالی که مارکرهای سطحی سلولهای بنیادی مزانشیمی شامل CD90, CD73, CD105 و CD44 بیان شدند (۲۰). نتایج ارزیابی مورفولوژی هیدروژل نشان داد، این هیدروژل همچون سایر هیدروژلهای پایه کیتوزان ساختاری متخلخل دارد و منافذ آن، با هم مرتبط هستند. تخلخل امکان قرارگیری سلول را فراهم می‌کند و ارتباط بین منافذ باعث انتقال مواد غذایی و مواد دفعی می‌شود. ساختار متخلخل هیدروژل CH-β-GP-HEC میتواند شرایطی مناسب جهت رشد و تکثیر سلولهای بنیادی فراهم کند. در سایر مطالعات مربوط به این هیدروژلها نتایج مشابهی گزارش شده است (۲۱). مدت زمان ژل شدن هیدروژل CH-β-GP-HEC در دمای ۳۷ درجه حدود ۲۵ دقیقه می‌باشد. در حالیکه مدت زمان ژل شدن برای هیدروژل CH-β-GP ۶ دقیقه گزارش شده است (۲۲). ژل شدن سریع ممکن

Neural Differentiation of Wharton's Jelly Stem Cells in Three-Dimensional Chitosan Based Culture Environment

E. Mansoori (MSc)¹, Sh. Kermani (PhD)¹, A. Alizadeh (PhD)^{*2}

1. Department of Material Engineering, Najafabad Branch, Islamic Azad University, Najafabad, I.R.Iran

2. Department of Tissue Engineering and Applied Cell Sciences, School of Medicine, Semnan University of Medical Sciences, Semnan, I.R.Iran

J Babol Univ Med Sci; 21; 2019; PP: 266-72

Received: Jan 1st 2019, Revised: Apr 16th 2019, Accepted: May 12th 2019.

ABSTRACT

BACKGROUND AND OBJECTIVE: Wharton Jelly Stem Cells (WJSCs) can be a good option for differentiating and regeneration of nervous system damage. Three dimensional (3D) cell cultures by providing a body-like environment have more advantages than the two dimensional (2D) cell cultures. The aim of this study was to investigate the neural differentiation of these cells in a 3D chitosan based culture environment.

METHODS: This experimental study was performed in 4 groups of 2&3D with and without differentiation media on WJSCs. First, to construct the hydrogel, hydroxyl ethyl cellulose was added to chitosan-beta-glycerophosphate solution (8.4: 0.8) (HEC: CH-β-GF). Human WJSCs after isolation by enzymatic method from warton's jelly of born infant in Imam Khomeini hospital in Tehran and characterization with flow cytometry, were cultured 5×10^5 cell in each well of 24-well plate in a 2D and 3D environment using the hydrogel in neural differentiation media for 4 days. Then, the neural differentiation of WJSCs was evaluated by quantitative analysis of β-Tubulin III, Nestin and β-actin (internal control) genes expression by Real Time PCR (RT-PCR).

FINDINGS: The results of RT-PCR showed that expression of β-Tubulin III and Nestin genes in WJSCs was significantly increased by the influence of the neural differentiation media in both 2D (more than 4 folds) and 3D (more than 2 folds) culture conditions ($p < 0.005$). But the expression of β-Tubulin III and Nestin in 3D cell culture condition (more than 1.5 folds) was greater than that in the 2D cell culture condition under the influence of the neural differentiation media ($p < 0.01$).

CONCLUSION: The results showed that neural differentiation of WJSCs in a chitosan based 3D environment is higher than 2D.

KEYWORDS: Wharton's jelly, Stem cells, Neural Differentiation, Chitosan.

Please cite this article as follows:

Mansoori E, Kermani Sh, Alizadeh A. Neural Differentiation of Wharton's Jelly Stem Cells in Three-Dimensional Chitosan Based Culture Environment. J Babol Univ Med Sci. 2019; 21: 266-72.

*Corresponding Author: A. Alizadeh (PhD)

Address: Department of Tissue Engineering and Applied Cell Sciences, School of Medicine, Semnan University of Medical Sciences, Semnan, I.R.Iran

Tel: +98 23 33441022

E-mail: alizadeh.a@Semums.ac.ir

References

1. Levy M, Boulis N, Rao M, Svendsen CN. Regenerative cellular therapies for neurologic diseases. *Brain res.* 2016;1638(Pt A):88-96.
2. Eftekharzadeh M, Nobakht M, Alizadeh A, Soleimani M, Hajghasem M, Kordestani Shargh B, et al. The effect of intrathecal delivery of bone marrow stromal cells on hippocampal neurons in rat model of Alzheimer's disease. *Iran J Basic Med Sci.* 2015;18(5):520-25.
3. Jaimes-Parra BD, Garzon I, Carriel V, Durand-Herrera D, Martín-Piedra MA, García JM, et al. Membranes derived from human umbilical cord Wharton's jelly stem cells as novel bioengineered tissue-like constructs. *Histol Histopathol.* 2018;33(2):147-56.
4. Balasubramanian S, Thej C, Venugopal P, Priya N, Zakaria Z, Sundarraj S, et al. Higher propensity of Wharton's jelly derived mesenchymal stromal cells towards neuronal lineage in comparison to those derived from adipose and bone marrow. *Cell Biol Int.* 2013;37(5):507-15.
5. Sanluis-Verdes A, Sanluis-Verdes N, Manso-Revilla MJ, Castro-Castro AM, Pombo-Otero J, Fraga-Mariño M, et al. Tissue engineering for neurodegenerative diseases using human amniotic membrane and umbilical cord. *Cell Tissue Bank.* 2017;18(1):1-15.
6. Zhang L, Wang LM, Chen WW, Ma Z, Han X, Liu CM, et al. Neural differentiation of human Wharton's jelly-derived mesenchymal stem cells improves the recovery of neurological function after transplantation in ischemic stroke rats. *Neural Regen Res.* 2017;12(7):1103-10.
7. Ruedinger F, Lavrentieva A, Blume C, Pepelanova I, Scheper T. Hydrogels for 3D mammalian cell culture: a starting guide for laboratory practice. *Appl Microbiol Biotechnol.* 2015;99(2):623-36.
8. D'Aiuto L, Bloom DC, Naciri JN, Smith A, Edwards TG, McClain L, et al. Modeling Herpes Simplex Virus 1 Infections in Human Central Nervous System Neuronal Cells Using Two- and Three-Dimensional Cultures Derived from Induced Pluripotent Stem Cells. *J Virol.* 2019; 93(9): pii: e00111-19.
9. Nierode GJ, Gopal S, Kwon P, Clark DS, Schaffer DV, Dordick JS. High-throughput identification of factors promoting neuronal differentiation of human neural progenitor cells in microscale 3D cell culture. *Biotechnol Bioeng.* 2019;116(1):168-80.
10. Jiao J, Huang J, Zhang Z. Hydrogels based on chitosan in tissue regeneration: How do they work? A mini review. *J Appl Polym Sci.* 2018;136:47235.
11. Carballo-Molina OA, Velasco I. Hydrogels as scaffolds and delivery systems to enhance axonal regeneration after injuries. *Front Cell Neurosci.* 2015;9(13):1-12
12. Hosseini SM, Vasaghi A, Nakhlpourvar N, Roshanravan R, Talaei-Khozani T, Razi Z. Differentiation of Wharton's jelly mesenchymal stem cells into neurons in alginate scaffold. *Neural Regen Res.* 2015;10(8):1312-6.
13. Gnani S, Barwig C, Freier T, Haastert-Talini K, Grothe C, Geuna S. The use of chitosan-based scaffolds to enhance regeneration in the nervous system. *Int Rev Neurobiol.* 2013;109:1-62.
14. Fregnan F, Ciglieri E, Tos P, Crosio A, Ciardelli G, Ruini F, et al. Chitosan crosslinked flat scaffolds for peripheral nerve regeneration. *Biomed Mater.* 2016;11(4):045010.
15. Shen X, Shamshina JL, Berton P, Gurau G, Rogers RD. Hydrogels based on cellulose and chitin: fabrication, properties, and applications. *Green Chem.* 2016;18(1):53-75.
16. Gawish AS, Bilal MM. Smart Liposomal Chitosan-Based Auto Gel with Ofloxacin; a new Controlled Release Device used for Treatment of Chronic Periodontitis. a Randomized, Double-Blind Controlled Clinical Trials. *Med Clin Res.* 2017;2(3):1-7.
17. Dashtimoghadam E, Bahlakeh G, Salimi-Kenari H, Hasani-Sadrabadi MM, Mirzadeh H, Nystrom B. Rheological Study and Molecular Dynamics Simulation of Biopolymer Blend Thermogels of Tunable Strength. *Biomacromolecules.* 2016;17(11):3474-84.
18. Liu L, Gao Q, Lu X, Zhou H. In situ forming hydrogels based on chitosan for drug delivery and tissue regeneration. *Asian J Pharm Sci.* 2016;11(6):673-83

- 19.Liu C, Zhong Y, Apostolou A, Fang S. Neural differentiation of human embryonic stem cells as an in vitro tool for the study of the expression patterns of the neuronal cytoskeleton during neurogenesis. *Biochem Biophys Res Commun*. 2013;439(1):154-9.
- 20.Hosseini A, Estiri H, Akhavan Niaki H, Alizadeh A, Abdolhossein Zadeh B, Ghaderian SMH, et al. Multiple Sclerosis Gene Therapy with Recombinant Viral Vectors: Overexpression of IL-4, Leukemia Inhibitory Factor, and IL-10 in Wharton's Jelly Stem Cells Used in EAE Mice Model. *Cell J*. 2017;19(3):361-374.
21. Karimpour A, Talebpour Amiri F, Ghaffari E, Alizadeh A, Jamalpour Z, Mirhosseini M, et al . Growth and Chondrogenic Differentiation of Mesenchymal Stem Cells Derived from Human Adipose Tissue on Chitosan Scaffolds. *J Babol Univ Med Sci*. 2016; 18(9):32-8. [In Persian]
- 22.Niranjan R, Koushik C, Saravanan S, Moorthi A, Vairamani M, Selvamurugan N. A novel injectable temperature-sensitive zinc doped chitosan/ β -glycerophosphate hydrogel for bone tissue engineering. *Int J Biol Macromol*. 2013;54:24-9.
- 23.Ganji F, Hoobakht F, Ghasemi Tahrir F, Vasheghani-Farahani E. In Vitro Sustained Release of Pyridostigmin Bromide from Injectable Thermosensitive Chitosan Hydrogel. *Iran J Biomed Engin*. 2014; 8(3): 249-60. [In Persian]
- 24.Kim S, Nishimoto SK, Bumgardner JD, Haggard WO, Gaber MW, Yang Y. A chitosan/ β -glycerophosphate thermo-sensitive gel for the delivery of ellagic acid for the treatment of brain cancer. *Biomaterials*. 2010;31(14):4157-66.
- 25.Wu J, Su ZG, Ma GH. A thermo-and pH-sensitive hydrogel composed of quaternized chitosan/glycerophosphate. *Int J Pharm*. 2006;315(1-2):1-11.
- 26.Yan J, Yang L, Wang G, Xiao Y, Zhang B, Qi N. Biocompatibility evaluation of chitosan-based injectable hydrogels for the culturing mice mesenchymal stem cells in vitro. *J Biomater Appl*. 2010;24(7):625-37.